

Eingabe: Farbmétrisches Drucker-Reflektiv-System FRS06

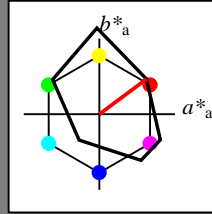
für Buntton $h^* = lab^*h = 37/360 = 0.102$

*lab*tch* und *lab*nch*

D65: Buntton O

LCH*Ma: 33 78 37

olv*Ma: 1.0 0.0 0.0



FRS06; adaptierte CIELAB-Daten					
	L^*_a	a^*_a	b^*_a	$C^*_{ab,a}$	$h^*_{ab,a}$
O _{Ma}	32.57	62.32	46.49	77.75	37
Y _{Ma}	82.73	-3.16	113.99	114.03	92
L _{Ma}	39.43	-61.79	45.84	76.95	143
C _{Ma}	47.86	-26.79	-34.24	43.49	232
V _{Ma}	10.16	55.12	-61.03	82.24	312
M _{Ma}	34.5	80.68	-33.92	87.52	337
N _{Ma}	6.25	0.0	0.0	0.0	0
W _{Ma}	91.97	0.0	0.0	0.0	0
R _{CIE}	39.92	59.8	31.05	67.38	27
J _{CIE}	81.26	-2.52	76.25	76.29	92
G _{CIE}	52.23	-41.56	17.14	44.96	158
B _{CIE}	30.57	2.63	-43.77	43.86	273

Dreiecks-Helligkeit t^*

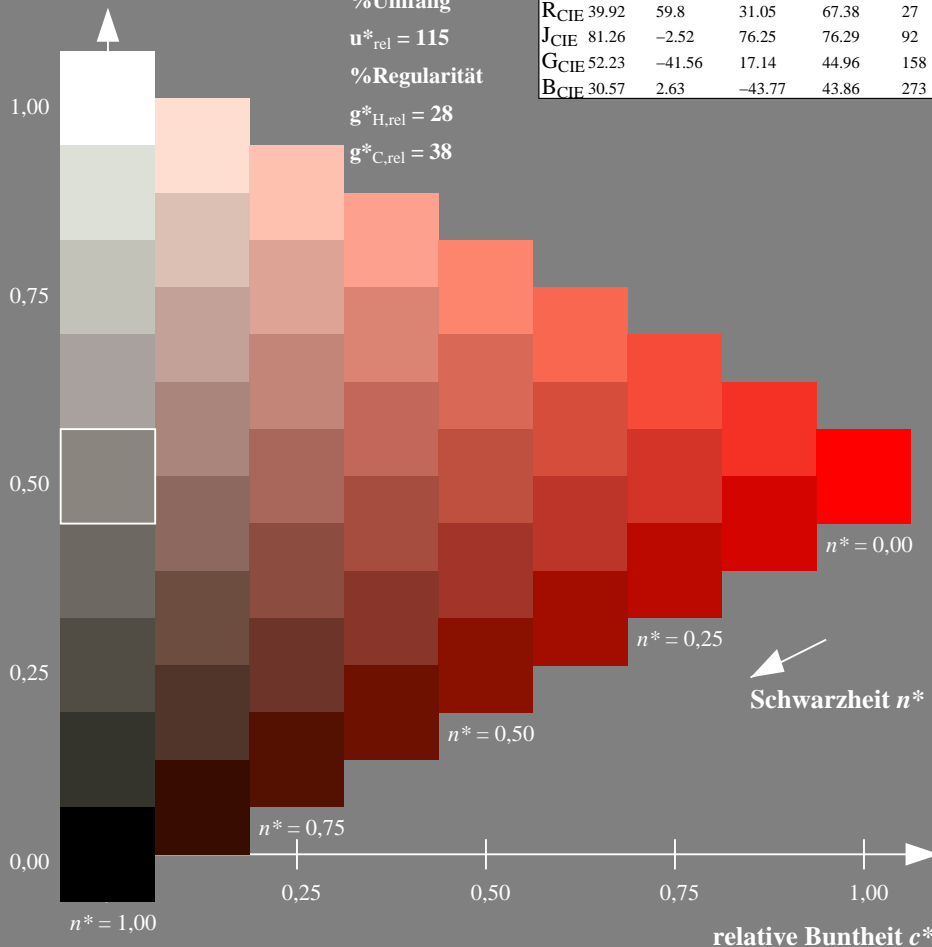
%Umfang

$$\mathbf{u}_{\text{rel}}^* = 115$$

%Regularität

$$g^*_{H,rel} = 28$$

$g^*_{C,rel} = 38$

VG290-7, 9stufige Reihen für konstanten CIELAB Buntton $37/360 = 0.102$ (links)

BAM-Prüfvorlage VG29; Farbmetrik-Systeme FRS06 & FRS06 input: *olv* setrgbcolor*

D65: 9 und 16stufige Farbreihen für 10 Bunttöne

Ausgabe: Farbmétrisches Drucker-Reflektiv-System FRS06

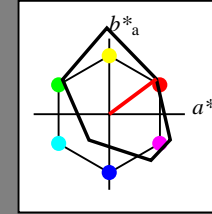
für Buntton $h^* = lab^*h = 37/360 = 0.102$

lab*tch* und *lab*nch

D65: Buntton O

LCH*Ma: 33 78 37

olv*Ma: 1.0 0.0 0.0



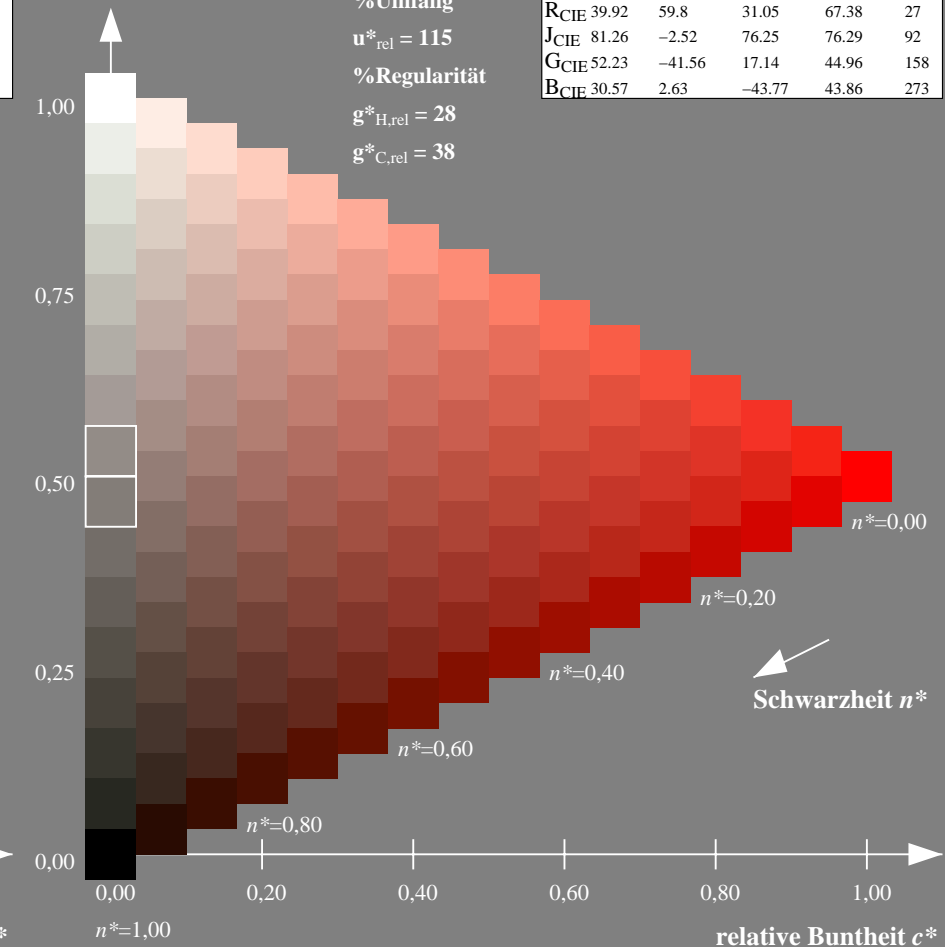
FRS06; adaptierte CIELAB-Daten					
	L^*_a	a^*_a	b^*_a	$C^*_{ab,a}$	$h^*_{ab,a}$
O _{Ma}	32.57	62.32	46.49	77.75	37
Y _{Ma}	82.73	-3.16	113.99	114.03	92
L _{Ma}	39.43	-61.79	45.84	76.95	143
C _{Ma}	47.86	-26.79	-34.24	43.49	232
V _{Ma}	10.16	55.12	-61.03	82.24	312
M _{Ma}	34.5	80.68	-33.92	87.52	337
N _{Ma}	6.25	0.0	0.0	0.0	0
W _{Ma}	91.97	0.0	0.0	0.0	0
R _{CIE}	39.92	59.8	31.05	67.38	27
J _{CIE}	81.26	-2.52	76.25	76.29	92
G _{CIE}	52.23	-41.56	17.14	44.96	158
B _{CIE}	30.57	2.63	-43.77	43.86	273

Dreiecks-Helligkeit t^*

%Umfang

$$\mathbf{u}_{\text{rel}}^* = 115$$

%Regularität

$$g^*_{H,rel} = 28$$
$$g^*_{C,rel} = 38$$
16stufige Reihen für konstanten CIELAB Buntton $37/360 = 0.102$ (rechts)6 input: *olv* setrgbcolor*

output: *olv** (*TRI9*) *setrgbcolor*

Eingabe: Farbmétrisches Drucker-Reflektiv-System FRS06

für Buntton $h^* = lab^*h = 92/360 = 0.254$

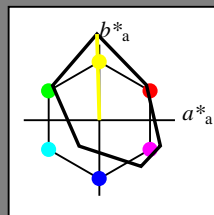
lab^*tch und lab^*nch

D65: Buntton Y

LCH*Ma: 83 114 92

olv*Ma: 1.0 1.0 0.0

Dreiecks-Helligkeit t^*



%Umfang

$u^*_{rel} = 115$

%Regularität

$g^*_{H,rel} = 28$

$g^*_{C,rel} = 38$

FRS06; adaptierte CIELAB-Daten

	$L^*=L^*_a$	a^*_a	b^*_a	$C^*_{ab,a}$	$h^*_{ab,a}$
O _{Ma}	32.57	62.32	46.49	77.75	37
Y _{Ma}	82.73	-3.16	113.99	114.03	92
L _{Ma}	39.43	-61.79	45.84	76.95	143
C _{Ma}	47.86	-26.79	-34.24	43.49	232
V _{Ma}	10.16	55.12	-61.03	82.24	312
M _{Ma}	34.5	80.68	-33.92	87.52	337
N _{Ma}	6.25	0.0	0.0	0.0	0
W _{Ma}	91.97	0.0	0.0	0.0	0
R _{CIE}	39.92	59.8	31.05	67.38	27
J _{CIE}	81.26	-2.52	76.25	76.29	92
G _{CIE}	52.23	-41.56	17.14	44.96	158
B _{CIE}	30.57	2.63	-43.77	43.86	273

Ausgabe: Farbmétrisches Drucker-Reflektiv-System FRS06

für Buntton $h^* = lab^*h = 92/360 = 0.254$

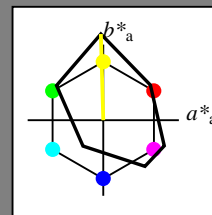
lab^*tch und lab^*nch

D65: Buntton Y

LCH*Ma: 83 114 92

olv*Ma: 1.0 1.0 0.0

Dreiecks-Helligkeit t^*



%Umfang

$u^*_{rel} = 115$

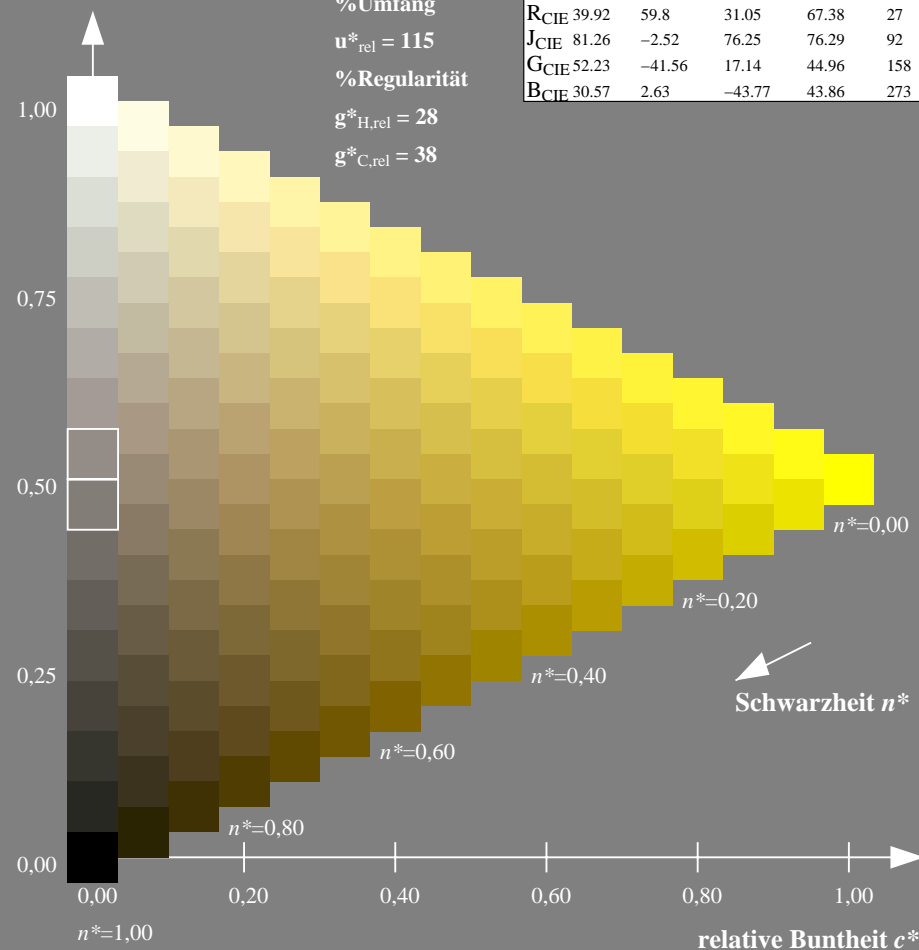
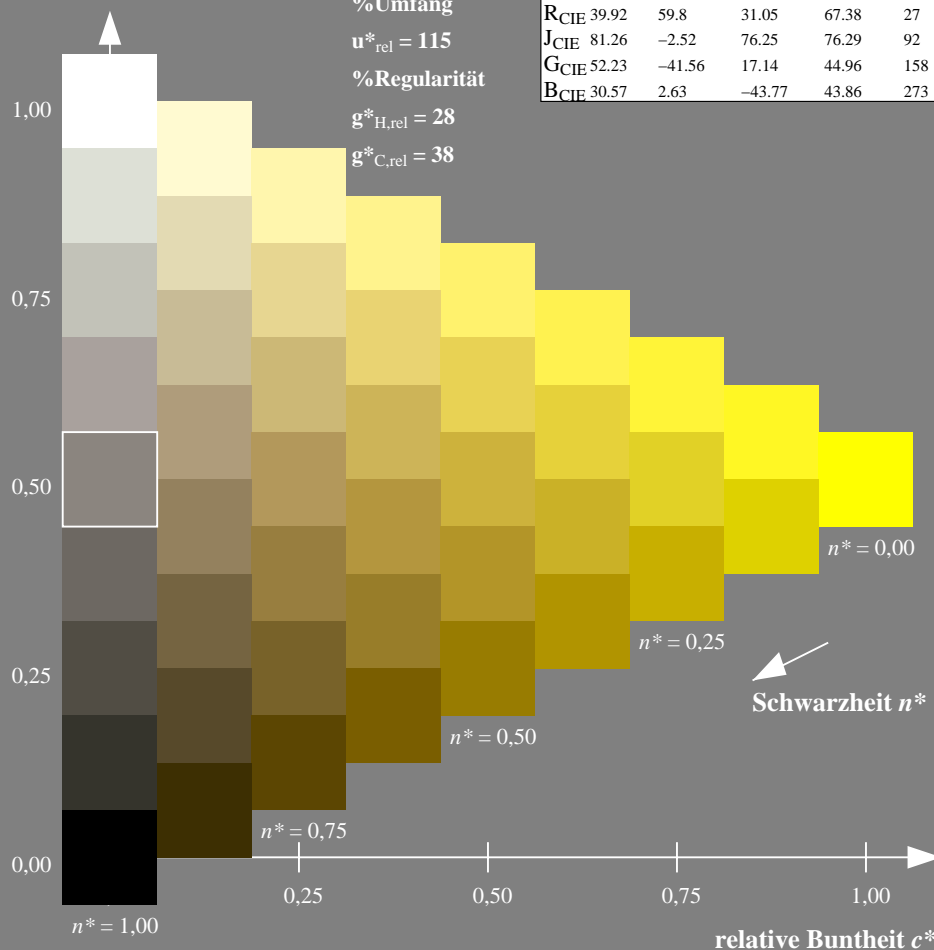
%Regularität

$g^*_{H,rel} = 28$

$g^*_{C,rel} = 38$

FRS06; adaptierte CIELAB-Daten

	$L^*=L^*_a$	a^*_a	b^*_a	$C^*_{ab,a}$	$h^*_{ab,a}$
O _{Ma}	32.57	62.32	46.49	77.75	37
Y _{Ma}	82.73	-3.16	113.99	114.03	92
L _{Ma}	39.43	-61.79	45.84	76.95	143
C _{Ma}	47.86	-26.79	-34.24	43.49	232
V _{Ma}	10.16	55.12	-61.03	82.24	312
M _{Ma}	34.5	80.68	-33.92	87.52	337
N _{Ma}	6.25	0.0	0.0	0.0	0
W _{Ma}	91.97	0.0	0.0	0.0	0
R _{CIE}	39.92	59.8	31.05	67.38	27
J _{CIE}	81.26	-2.52	76.25	76.29	92
G _{CIE}	52.23	-41.56	17.14	44.96	158
B _{CIE}	30.57	2.63	-43.77	43.86	273



VG290-7, 9stufige Reihen für konstanten CIELAB Buntton 92/360 = 0.254 (links)

16stufige Reihen für konstanten CIELAB Buntton 92/360 = 0.254 (rechts)

BAM-Prüfvorlage VG29; Farbmétrik-Systeme FRS06 & FRS06 input: $olv^* setrgbcolor$
D65: 9 und 16stufige Farbreihen für 10 Bunttöne output: $olv^* (TRI9) setrgbcolor$

Eingabe: Farbmétrisches Drucker-Reflektiv-System FRS06

für Buntton $h^* = lab^*h = 143/360 = 0.398$

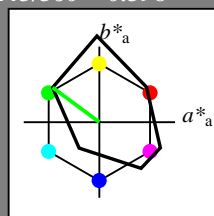
lab^*tch und lab^*nch

D65: Buntton L

LCH*Ma: 39 77 143

olv*Ma: 0.0 1.0 0.0

Dreiecks-Helligkeit t^*



%Umfang

$u^*_{rel} = 115$

%Regularität

$g^*_{H,rel} = 28$

$g^*_{C,rel} = 38$

FRS06; adaptierte CIELAB-Daten

	$L^*=L^*_a$	a^*_a	b^*_a	$C^*_{ab,a}$	$h^*_{ab,a}$
O _{Ma}	32.57	62.32	46.49	77.75	37
Y _{Ma}	82.73	-3.16	113.99	114.03	92
L _{Ma}	39.43	-61.79	45.84	76.95	143
C _{Ma}	47.86	-26.79	-34.24	43.49	232
V _{Ma}	10.16	55.12	-61.03	82.24	312
M _{Ma}	34.5	80.68	-33.92	87.52	337
N _{Ma}	6.25	0.0	0.0	0.0	0
W _{Ma}	91.97	0.0	0.0	0.0	0
R _{CIE}	39.92	59.8	31.05	67.38	27
J _{CIE}	81.26	-2.52	76.25	76.29	92
G _{CIE}	52.23	-41.56	17.14	44.96	158
B _{CIE}	30.57	2.63	-43.77	43.86	273

Ausgabe: Farbmétrisches Drucker-Reflektiv-System FRS06

für Buntton $h^* = lab^*h = 143/360 = 0.398$

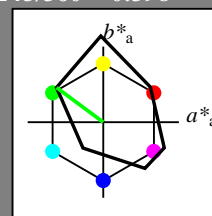
lab^*tch und lab^*nch

D65: Buntton L

LCH*Ma: 39 77 143

olv*Ma: 0.0 1.0 0.0

Dreiecks-Helligkeit t^*



%Umfang

$u^*_{rel} = 115$

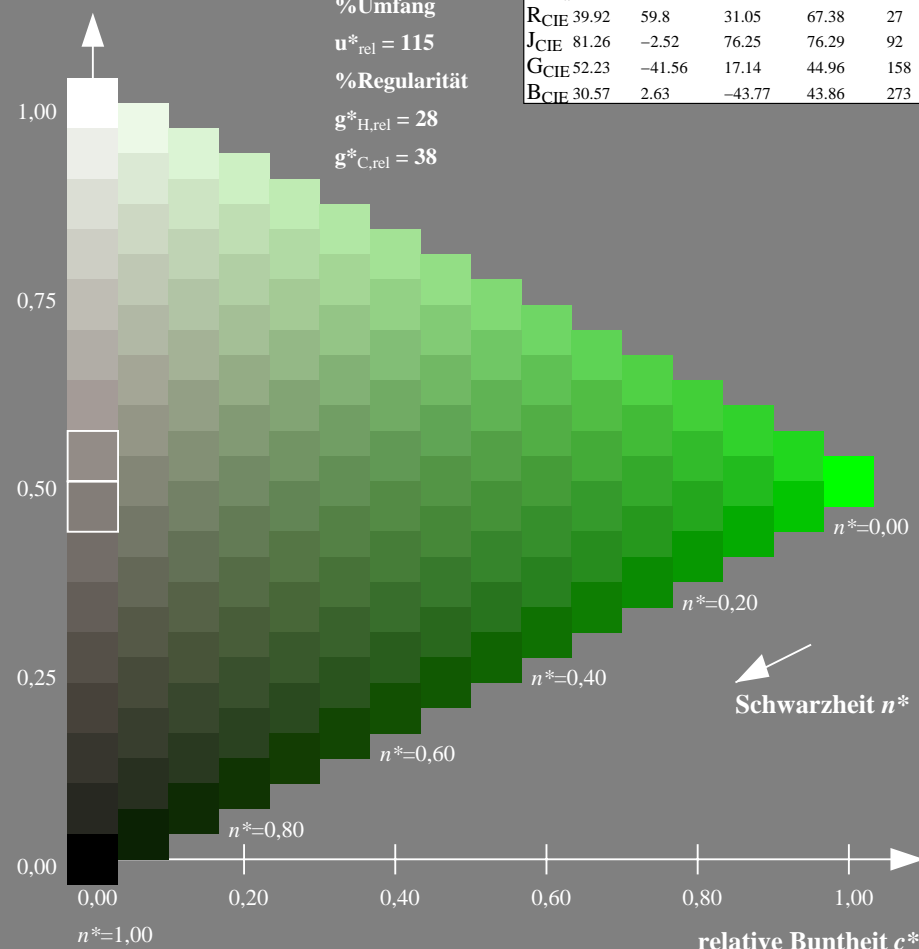
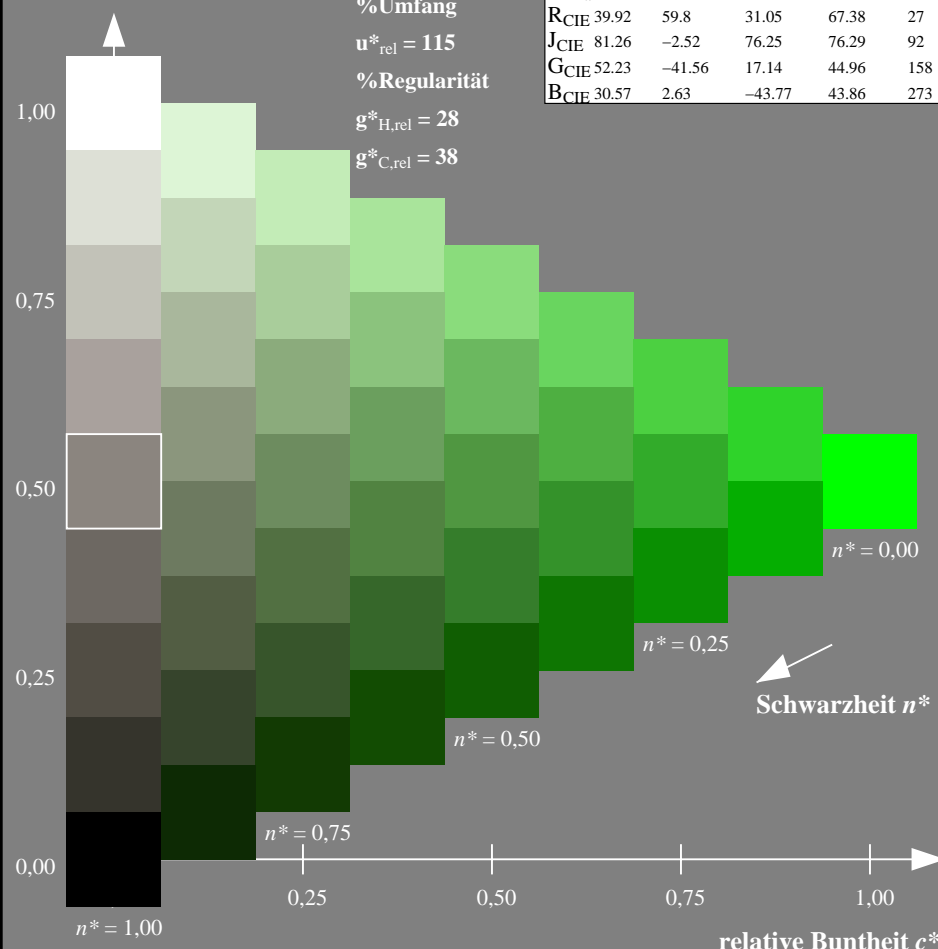
%Regularität

$g^*_{H,rel} = 28$

$g^*_{C,rel} = 38$

FRS06; adaptierte CIELAB-Daten

	$L^*=L^*_a$	a^*_a	b^*_a	$C^*_{ab,a}$	$h^*_{ab,a}$
O _{Ma}	32.57	62.32	46.49	77.75	37
Y _{Ma}	82.73	-3.16	113.99	114.03	92
L _{Ma}	39.43	-61.79	45.84	76.95	143
C _{Ma}	47.86	-26.79	-34.24	43.49	232
V _{Ma}	10.16	55.12	-61.03	82.24	312
M _{Ma}	34.5	80.68	-33.92	87.52	337
N _{Ma}	6.25	0.0	0.0	0.0	0
W _{Ma}	91.97	0.0	0.0	0.0	0
R _{CIE}	39.92	59.8	31.05	67.38	27
J _{CIE}	81.26	-2.52	76.25	76.29	92
G _{CIE}	52.23	-41.56	17.14	44.96	158
B _{CIE}	30.57	2.63	-43.77	43.86	273



VG290-7, 9stufige Reihen für konstanten CIELAB Buntton 143/360 = 0.398 (links)

16stufige Reihen für konstanten CIELAB Buntton 143/360 = 0.398 (rechts)

BAM-Prüfvorlage VG29; Farbmétrik-Systeme FRS06 & FRS06 input: $olv^* setrgbcolor$
D65: 9 und 16stufige Farbreihen für 10 Bunttöne output: olv^* (TRI9) $setrgbcolor$

Eingabe: Farbmétrisches Drucker-Reflektiv-System FRS06

für Buntton $h^* = lab^*h = 232/360 = 0.644$

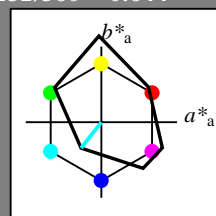
lab^*ch und lab^*nch

D65: Buntton C

LCH*Ma: 48 43 232

olv*Ma: 0.0 1.0 1.0

Dreiecks-Helligkeit t^*



%Umfang

$u^*_{rel} = 115$

%Regularität

$g^*_{H,rel} = 28$

$g^*_{C,rel} = 38$

FRS06; adaptierte CIELAB-Daten

	$L^*=L^*_a$	a^*_a	b^*_a	$C^*_{ab,a}$	$h^*_{ab,a}$
O _{Ma}	32.57	62.32	46.49	77.75	37
Y _{Ma}	82.73	-3.16	113.99	114.03	92
L _{Ma}	39.43	-61.79	45.84	76.95	143
C _{Ma}	47.86	-26.79	-34.24	43.49	232
V _{Ma}	10.16	55.12	-61.03	82.24	312
M _{Ma}	34.5	80.68	-33.92	87.52	337
N _{Ma}	6.25	0.0	0.0	0.0	0
W _{Ma}	91.97	0.0	0.0	0.0	0
R _{CIE}	39.92	59.8	31.05	67.38	27
J _{CIE}	81.26	-2.52	76.25	76.29	92
G _{CIE}	52.23	-41.56	17.14	44.96	158
B _{CIE}	30.57	2.63	-43.77	43.86	273

Ausgabe: Farbmétrisches Drucker-Reflektiv-System FRS06

für Buntton $h^* = lab^*h = 232/360 = 0.644$

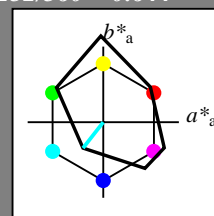
lab^*ch und lab^*nch

D65: Buntton C

LCH*Ma: 48 43 232

olv*Ma: 0.0 1.0 1.0

Dreiecks-Helligkeit t^*



%Umfang

$u^*_{rel} = 115$

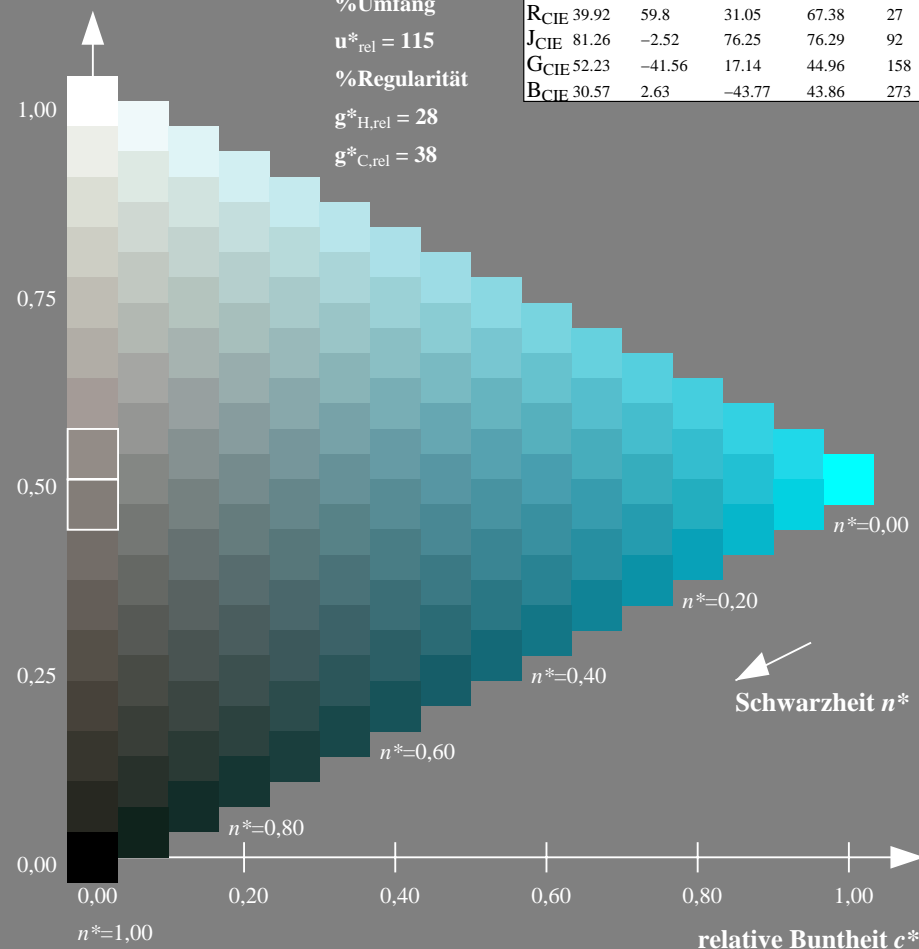
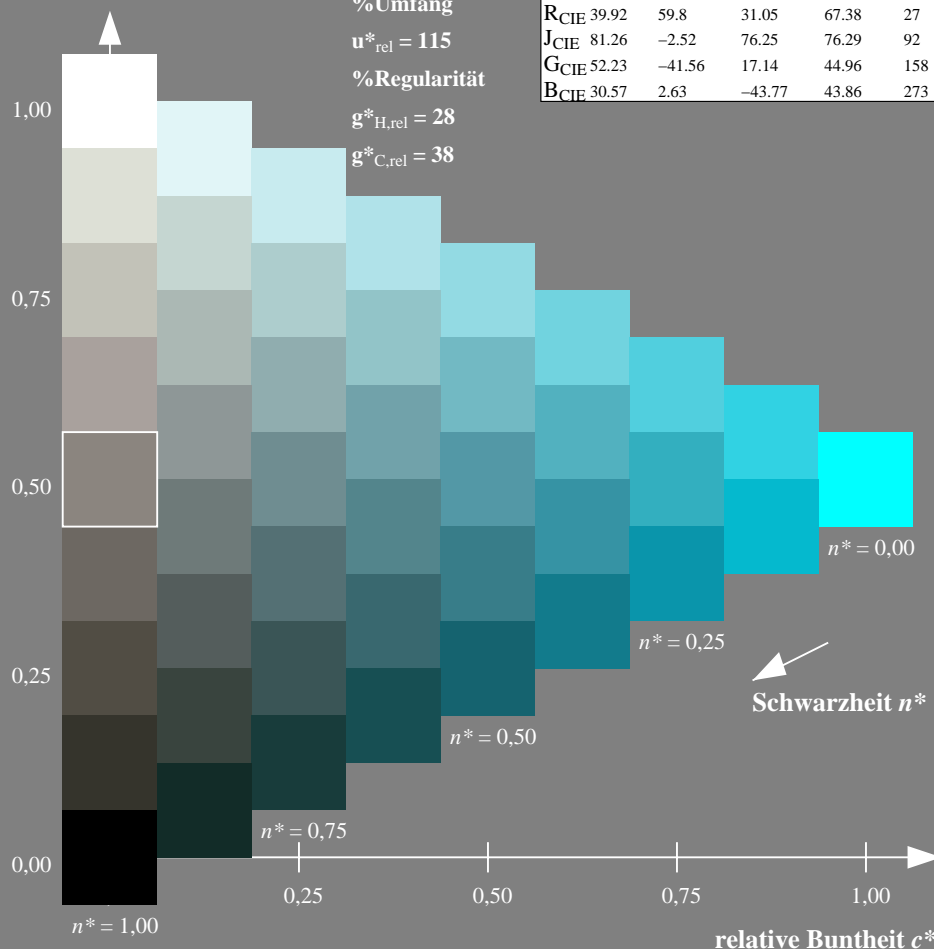
%Regularität

$g^*_{H,rel} = 28$

$g^*_{C,rel} = 38$

FRS06; adaptierte CIELAB-Daten

	$L^*=L^*_a$	a^*_a	b^*_a	$C^*_{ab,a}$	$h^*_{ab,a}$
O _{Ma}	32.57	62.32	46.49	77.75	37
Y _{Ma}	82.73	-3.16	113.99	114.03	92
L _{Ma}	39.43	-61.79	45.84	76.95	143
C _{Ma}	47.86	-26.79	-34.24	43.49	232
V _{Ma}	10.16	55.12	-61.03	82.24	312
M _{Ma}	34.5	80.68	-33.92	87.52	337
N _{Ma}	6.25	0.0	0.0	0.0	0
W _{Ma}	91.97	0.0	0.0	0.0	0
R _{CIE}	39.92	59.8	31.05	67.38	27
J _{CIE}	81.26	-2.52	76.25	76.29	92
G _{CIE}	52.23	-41.56	17.14	44.96	158
B _{CIE}	30.57	2.63	-43.77	43.86	273



VG290-7, 9stufige Reihen für konstanten CIELAB Buntton 232/360 = 0.644 (links)

16stufige Reihen für konstanten CIELAB Buntton 232/360 = 0.644 (rechts)

BAM-Prüfvorlage VG29; Farbmétrik-Systeme FRS06 & FRS06 input: $olv^*setrgbcolor$
D65: 9 und 16stufige Farbreihen für 10 Bunttöne output: olv^* (TRI9) $setrgbcolor$

Eingabe: Farbmetrisches Drucker-Reflektiv-System FRS06

für Buntton $h^* = lab^*h = 312/360 = 0.867$

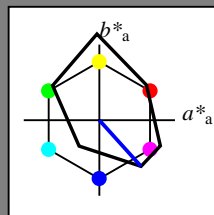
lab^*tch und lab^*nch

D65: Buntton V

LCH*Ma: 10 82 312

olv*Ma: 0.0 0.0 1.0

Dreiecks-Helligkeit t^*



%Umfang

$u^*_{rel} = 115$

%Regularität

$g^*_{H,rel} = 28$

$g^*_{C,rel} = 38$

FRS06; adaptierte CIELAB-Daten					
	$L^*=L^*_a$	a^*_a	b^*_a	$C^*_{ab,a}$	$h^*_{ab,a}$
O _{Ma}	32.57	62.32	46.49	77.75	37
Y _{Ma}	82.73	-3.16	113.99	114.03	92
L _{Ma}	39.43	-61.79	45.84	76.95	143
C _{Ma}	47.86	-26.79	-34.24	43.49	232
V _{Ma}	10.16	55.12	-61.03	82.24	312
M _{Ma}	34.5	80.68	-33.92	87.52	337
N _{Ma}	6.25	0.0	0.0	0.0	0
W _{Ma}	91.97	0.0	0.0	0.0	0
R _{CIE}	39.92	59.8	31.05	67.38	27
J _{CIE}	81.26	-2.52	76.25	76.29	92
G _{CIE}	52.23	-41.56	17.14	44.96	158
B _{CIE}	30.57	2.63	-43.77	43.86	273

Ausgabe: Farbmetrisches Drucker-Reflektiv-System FRS06

für Buntton $h^* = lab^*h = 312/360 = 0.867$

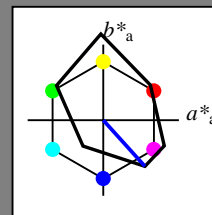
lab^*tch und lab^*nch

D65: Buntton V

LCH*Ma: 10 82 312

olv*Ma: 0.0 0.0 1.0

Dreiecks-Helligkeit t^*



%Umfang

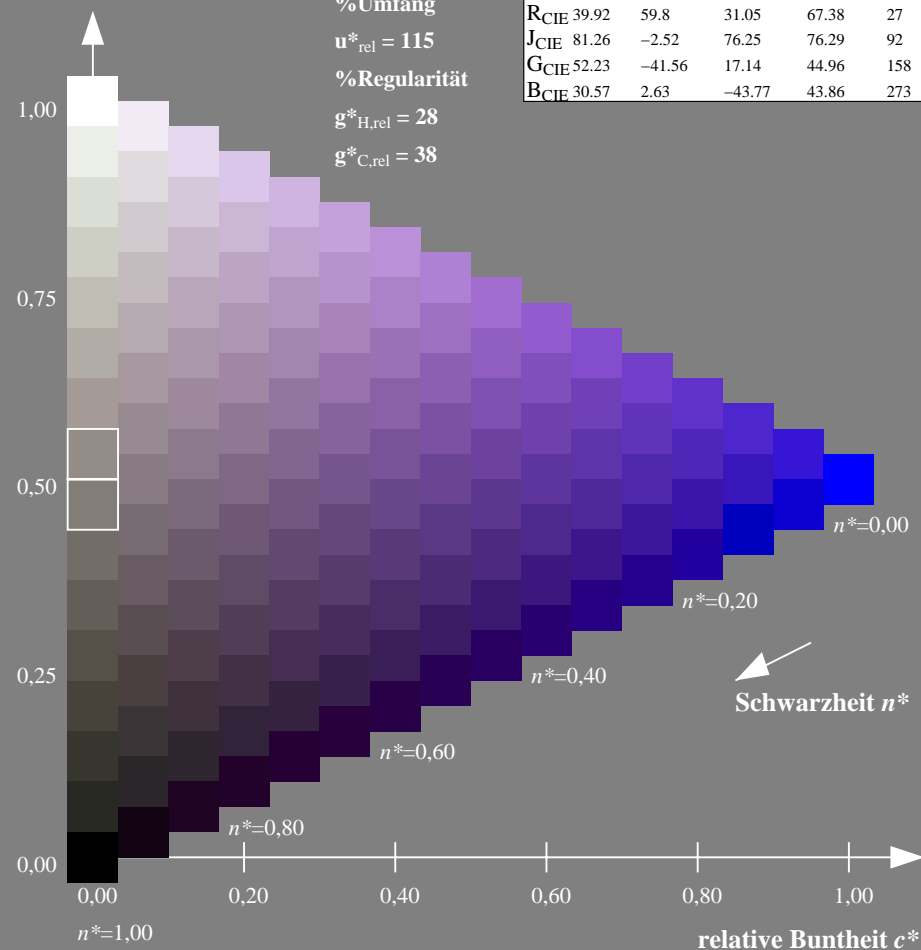
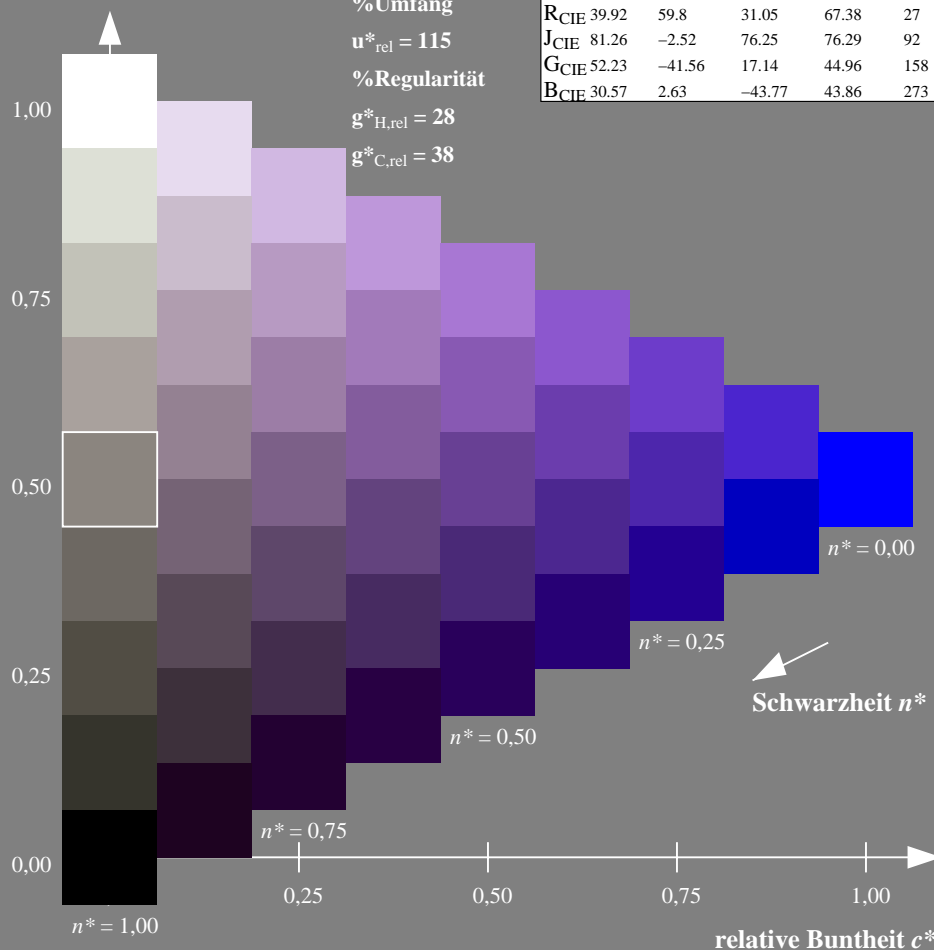
$u^*_{rel} = 115$

%Regularität

$g^*_{H,rel} = 28$

$g^*_{C,rel} = 38$

FRS06; adaptierte CIELAB-Daten					
	$L^*=L^*_a$	a^*_a	b^*_a	$C^*_{ab,a}$	$h^*_{ab,a}$
O _{Ma}	32.57	62.32	46.49	77.75	37
Y _{Ma}	82.73	-3.16	113.99	114.03	92
L _{Ma}	39.43	-61.79	45.84	76.95	143
C _{Ma}	47.86	-26.79	-34.24	43.49	232
V _{Ma}	10.16	55.12	-61.03	82.24	312
M _{Ma}	34.5	80.68	-33.92	87.52	337
N _{Ma}	6.25	0.0	0.0	0.0	0
W _{Ma}	91.97	0.0	0.0	0.0	0
R _{CIE}	39.92	59.8	31.05	67.38	27
J _{CIE}	81.26	-2.52	76.25	76.29	92
G _{CIE}	52.23	-41.56	17.14	44.96	158
B _{CIE}	30.57	2.63	-43.77	43.86	273



VG29-7, 9stufige Reihen für konstanten CIELAB Buntton 312/360 = 0.867 (links)

16stufige Reihen für konstanten CIELAB Buntton 312/360 = 0.867 (rechts)

BAM-Prüfvorlage VG29; Farbmetrik-Systeme FRS06 & FRS06 input: $olv^* setrgbcolor$
D65: 9 und 16stufige Farbreihen für 10 Bunttöne output: olv^* (TRI9) $setrgbcolor$

Eingabe: Farbmétrisches Drucker-Reflektiv-System FRS06

für Buntton $h^* = lab^*h = 337/360 = 0.937$

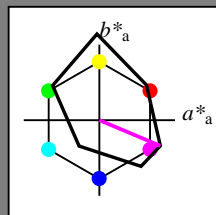
lab^*tch und lab^*nch

D65: Buntton M

LCH*Ma: 35 88 337

olv*Ma: 1.0 0.0 1.0

Dreiecks-Helligkeit t^*



%Umfang

$u^*_{rel} = 115$

%Regularität

$g^*_{H,rel} = 28$

$g^*_{C,rel} = 38$

FRS06; adaptierte CIELAB-Daten

	$L^*=L^*_a$	a^*_a	b^*_a	$C^*_{ab,a}$	$h^*_{ab,a}$
O _{Ma}	32.57	62.32	46.49	77.75	37
Y _{Ma}	82.73	-3.16	113.99	114.03	92
L _{Ma}	39.43	-61.79	45.84	76.95	143
C _{Ma}	47.86	-26.79	-34.24	43.49	232
V _{Ma}	10.16	55.12	-61.03	82.24	312
M _{Ma}	34.5	80.68	-33.92	87.52	337
N _{Ma}	6.25	0.0	0.0	0.0	0
W _{Ma}	91.97	0.0	0.0	0.0	0
R _{CIE}	39.92	59.8	31.05	67.38	27
J _{CIE}	81.26	-2.52	76.25	76.29	92
G _{CIE}	52.23	-41.56	17.14	44.96	158
B _{CIE}	30.57	2.63	-43.77	43.86	273

Ausgabe: Farbmétrisches Drucker-Reflektiv-System FRS06

für Buntton $h^* = lab^*h = 337/360 = 0.937$

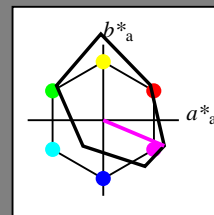
lab^*tch und lab^*nch

D65: Buntton M

LCH*Ma: 35 88 337

olv*Ma: 1.0 0.0 1.0

Dreiecks-Helligkeit t^*



%Umfang

$u^*_{rel} = 115$

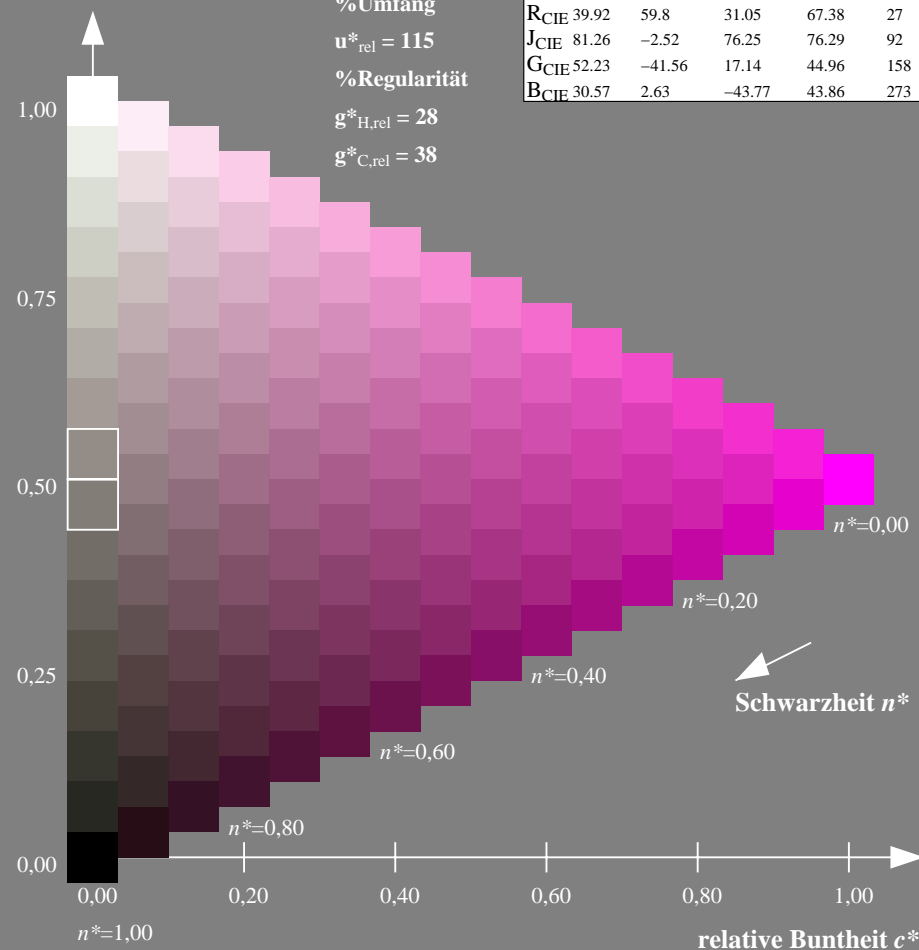
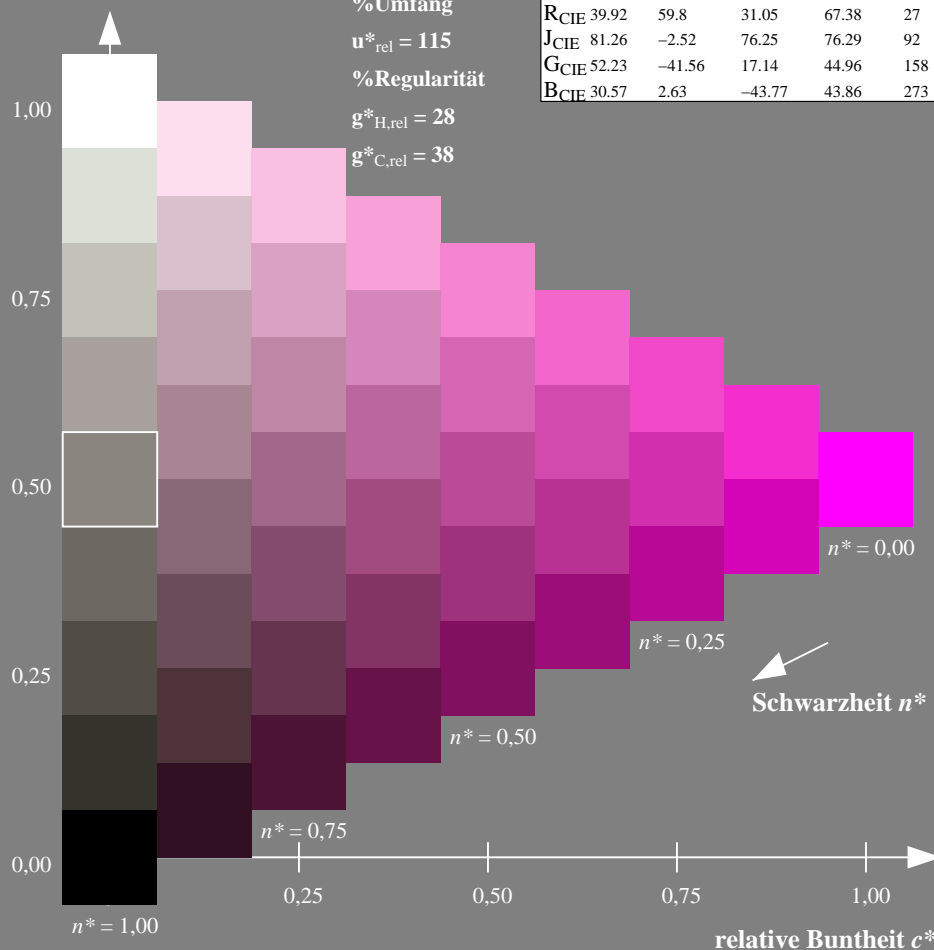
%Regularität

$g^*_{H,rel} = 28$

$g^*_{C,rel} = 38$

FRS06; adaptierte CIELAB-Daten

	$L^*=L^*_a$	a^*_a	b^*_a	$C^*_{ab,a}$	$h^*_{ab,a}$
O _{Ma}	32.57	62.32	46.49	77.75	37
Y _{Ma}	82.73	-3.16	113.99	114.03	92
L _{Ma}	39.43	-61.79	45.84	76.95	143
C _{Ma}	47.86	-26.79	-34.24	43.49	232
V _{Ma}	10.16	55.12	-61.03	82.24	312
M _{Ma}	34.5	80.68	-33.92	87.52	337
N _{Ma}	6.25	0.0	0.0	0.0	0
W _{Ma}	91.97	0.0	0.0	0.0	0
R _{CIE}	39.92	59.8	31.05	67.38	27
J _{CIE}	81.26	-2.52	76.25	76.29	92
G _{CIE}	52.23	-41.56	17.14	44.96	158
B _{CIE}	30.57	2.63	-43.77	43.86	273



VG29-7, 9stufige Reihen für konstanten CIELAB Buntton 337/360 = 0.937 (links)

16stufige Reihen für konstanten CIELAB Buntton 337/360 = 0.937 (rechts)

BAM-Prüfvorlage VG29; Farbmétrik-Systeme FRS06 & FRS06 input: $olv^*setrgbcolor$
D65: 9 und 16stufige Farbreihen für 10 Bunttöne output: olv^* (TRI9) $setrgbcolor$

Eingabe: Farbmetrisches Drucker-Reflektiv-System FRS06

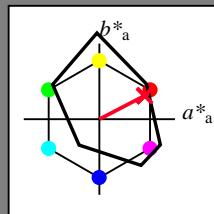
für Buntton $h^* = lab^*h = 27/360 = 0.076$

*lab*tch* und *lab*nch*

D65: Buntton R

LCH*Ma: 33 73 27

olv*Ma: 1.0 0.0 0.16



FRS06; adaptierte CIELAB-Daten					
	$L^* = L^*_a$	a^*_a	b^*_a	$C^*_{a,b}$	$h^*_{a,b}$
O _{Ma}	32.57	62.32	46.49	77.75	37
Y _{Ma}	82.73	-3.16	113.99	114.03	92
L _{Ma}	39.43	-61.79	45.84	76.95	143
C _{Ma}	47.86	-26.79	-34.24	43.49	232
V _{Ma}	10.16	55.12	-61.03	82.24	312
M _{Ma}	34.5	80.68	-33.92	87.52	337
N _{Ma}	6.25	0.0	0.0	0.0	0
W _{Ma}	91.97	0.0	0.0	0.0	0
R _{CIE}	39.92	59.8	31.05	67.38	27
J _{CIE}	81.26	-2.52	76.25	76.29	92
G _{CIE}	52.23	-41.56	17.14	44.96	158
B _{CIE}	30.57	26.3	-43.77	43.86	273

Dreiecks-Helligkeit t^*

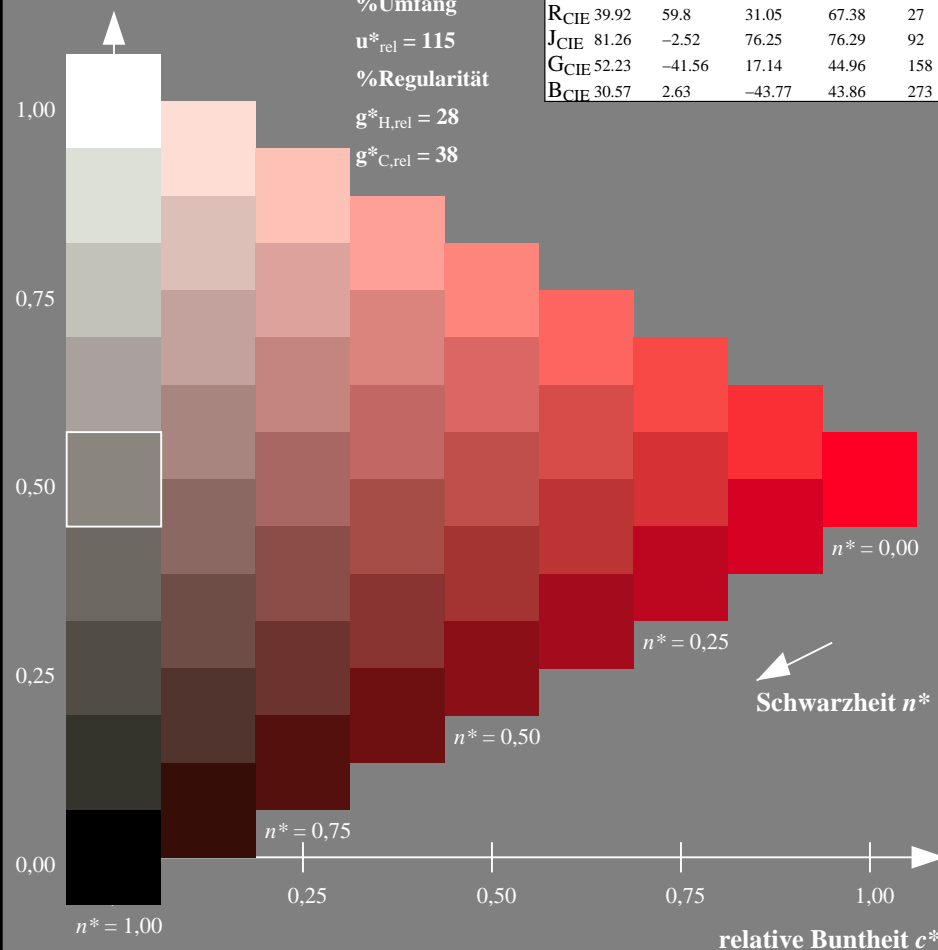
%Umfang

$$\mathbf{u}_{\text{rel}}^* = 115$$

%Regularität

$$g^*_{H,rel} = 28$$

g*_{C,rel} = 38

VG290-7, 9stufige Reihen für konstanten CIELAB Buntton $27/360 = 0.076$ (links)

BAM-Prüfvorlage VG29; Farbmatrik-Systeme FRS06 & FRS06 input: *olv* setrgbcolor*

D65: 9 und 16stufige Farbreihen für 10 Bunttöne

Ausgabe: Farbmétrisches Drucker-Reflektiv-System FRS06

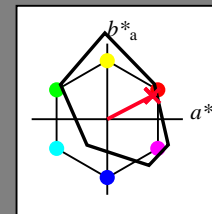
für Buntton $h^* = lab^*h = 27/360 = 0.076$

lab*tch* und *lab*nch

D65: Buntton R

LCH*Ma: 33 73 27

olv*Ma: 1.0 0.0 0.16



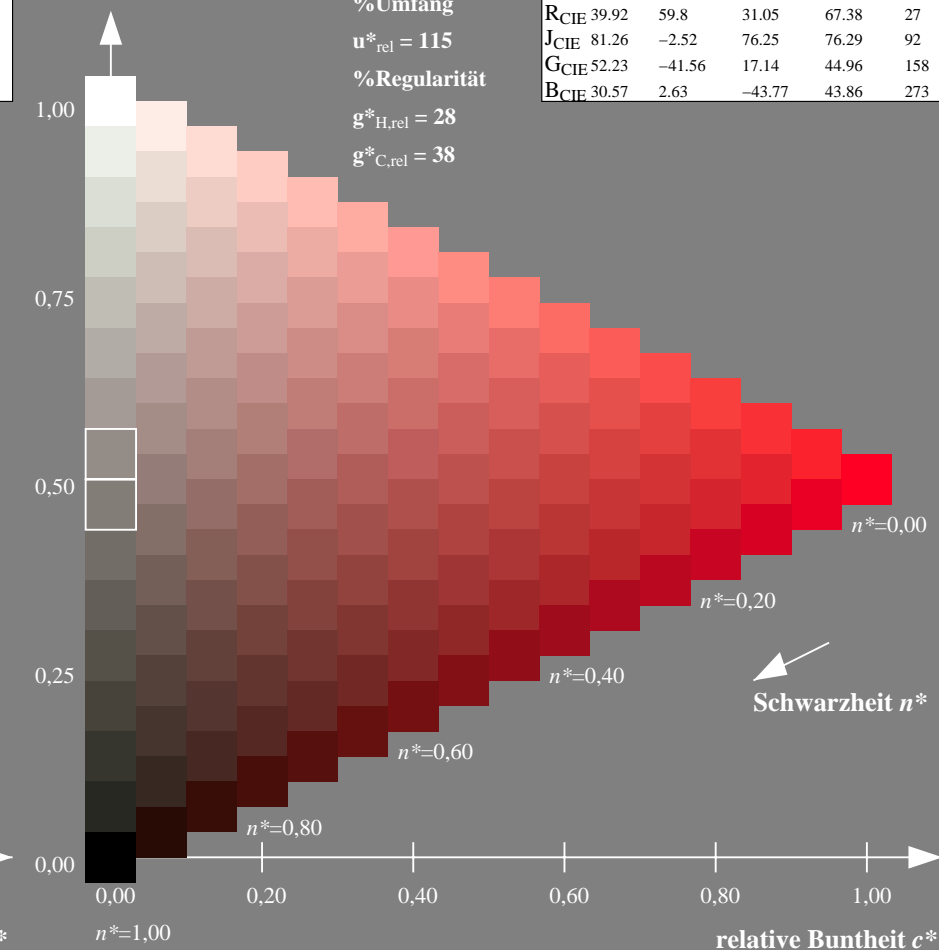
FRS06; adaptierte CIELAB-Daten						
	L^*_a	a^*_a	b^*_a	$C^*_{ab,a}$	$h^*_{ab,a}$	
O _{Ma}	32.57	62.32	46.49	77.75		37
Y _{Ma}	82.73	-3.16	113.99	114.03		92
L _{Ma}	39.43	-61.79	45.84	76.95		143
C _{Ma}	47.86	-26.79	-34.24	43.49		232
V _{Ma}	10.16	55.12	-61.03	82.24		312
M _{Ma}	34.5	80.68	-33.92	87.52		337
N _{Ma}	6.25	0.0	0.0	0.0		0
W _{Ma}	91.97	0.0	0.0	0.0		0
R _{CIE}	39.92	59.8	31.05	67.38		27
J _{CIE}	81.26	-2.52	76.25	76.29		92
G _{CIE}	52.23	-41.56	17.14	44.96		158
B _{CIE}	30.57	2.63	-43.77	43.86		273

Dreiecks-Helligkeit t^*

%Umfang

$$\mathbf{u}_{\text{rel}}^* = 115$$

%Regular

$$g^*_{H,rel} = 28$$
$$g^*_{C_{rel}} = 38$$
16stufige Reihen für konstanten CIELAB Buntton $27/360 = 0.076$ (rechts)

5 input: *olv** *setrgbcolor*

output: *olv** (*TRI9*) *setrgbcolor*

Eingabe: Farbmetrisches Drucker-Reflektiv-System FRS06

für Buntton $h^* = lab^*h = 92/360 = 0.255$

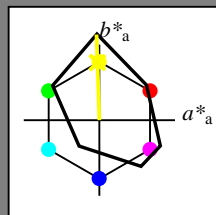
lab^*tch und lab^*nch

D65: Buntton J

LCH*Ma: 82 113 92

olv*Ma: 0.99 1.0 0.0

Dreiecks-Helligkeit t^*



%Umfang

$u^*_{rel} = 115$

%Regularität

$g^*_{H,rel} = 28$

$g^*_{C,rel} = 38$

FRS06; adaptierte CIELAB-Daten

	$L^*=L^*_a$	a^*_a	b^*_a	$C^*_{ab,a}$	$h^*_{ab,a}$
O _{Ma}	32.57	62.32	46.49	77.75	37
Y _{Ma}	82.73	-3.16	113.99	114.03	92
L _{Ma}	39.43	-61.79	45.84	76.95	143
C _{Ma}	47.86	-26.79	-34.24	43.49	232
V _{Ma}	10.16	55.12	-61.03	82.24	312
M _{Ma}	34.5	80.68	-33.92	87.52	337
N _{Ma}	6.25	0.0	0.0	0.0	0
W _{Ma}	91.97	0.0	0.0	0.0	0
R _{CIE}	39.92	59.8	31.05	67.38	27
J _{CIE}	81.26	-2.52	76.25	76.29	92
G _{CIE}	52.23	-41.56	17.14	44.96	158
B _{CIE}	30.57	2.63	-43.77	43.86	273

Ausgabe: Farbmetrisches Drucker-Reflektiv-System FRS06

für Buntton $h^* = lab^*h = 92/360 = 0.255$

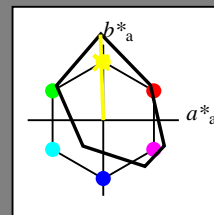
lab^*tch und lab^*nch

D65: Buntton J

LCH*Ma: 82 113 92

olv*Ma: 0.99 1.0 0.0

Dreiecks-Helligkeit t^*



%Umfang

$u^*_{rel} = 115$

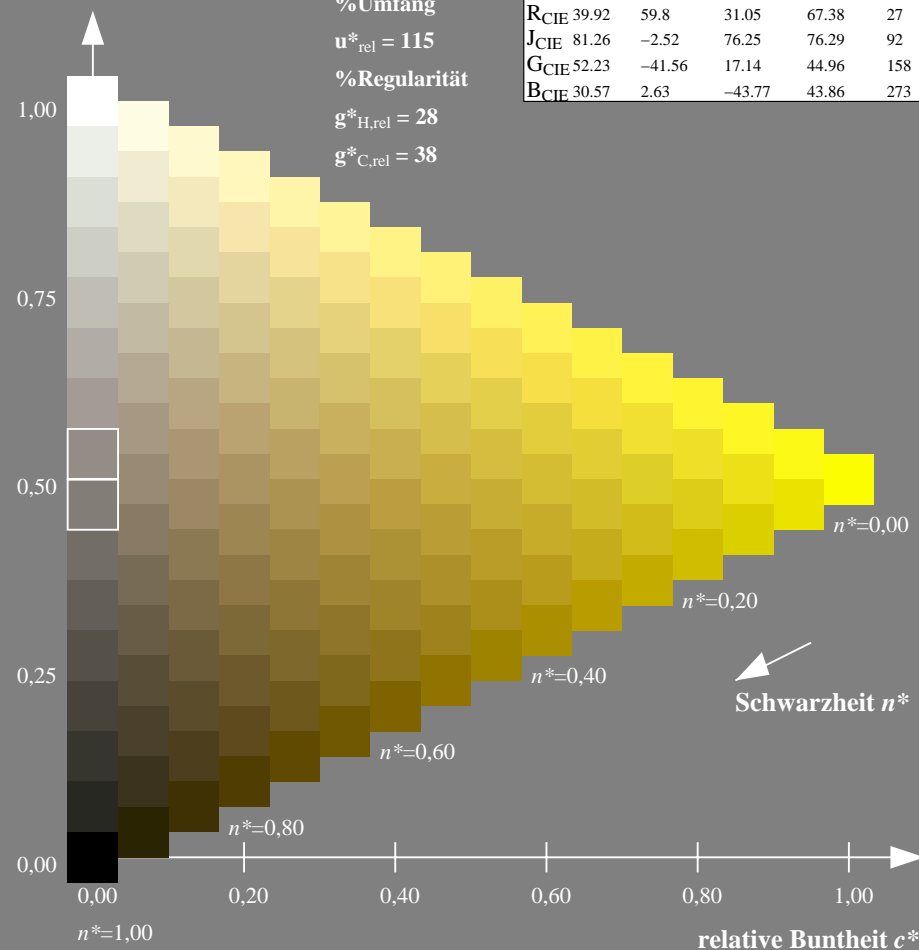
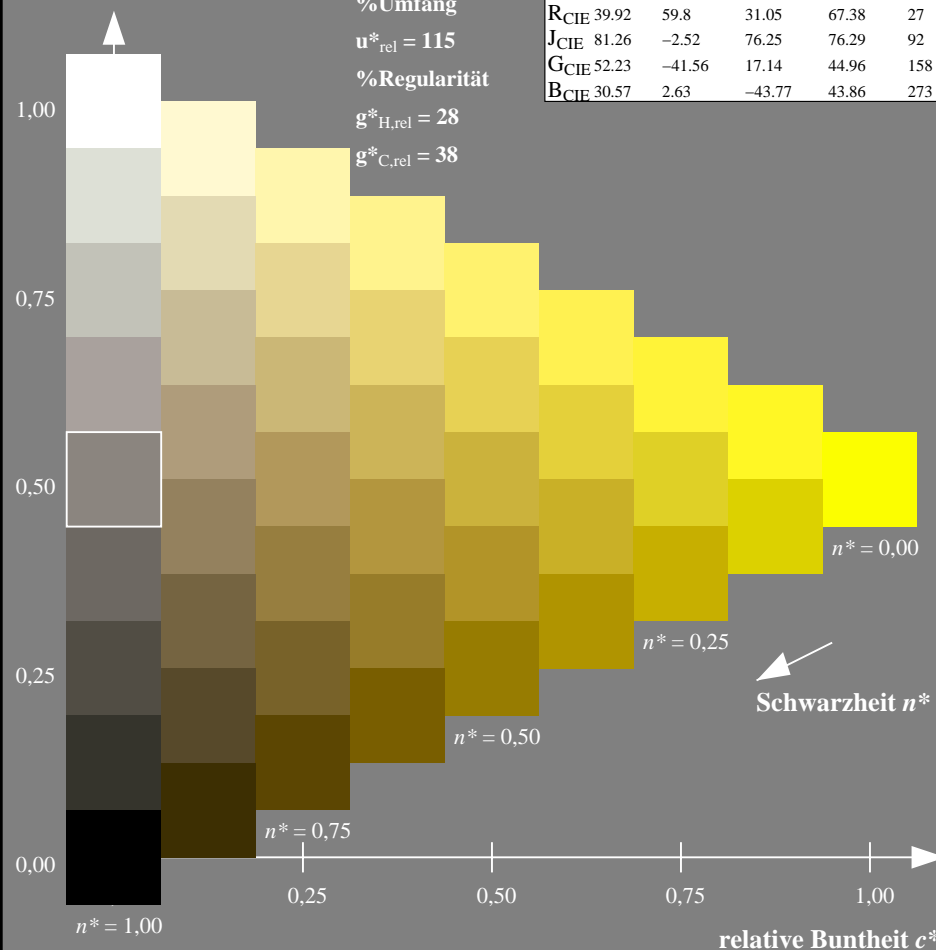
%Regularität

$g^*_{H,rel} = 28$

$g^*_{C,rel} = 38$

FRS06; adaptierte CIELAB-Daten

	$L^*=L^*_a$	a^*_a	b^*_a	$C^*_{ab,a}$	$h^*_{ab,a}$
O _{Ma}	32.57	62.32	46.49	77.75	37
Y _{Ma}	82.73	-3.16	113.99	114.03	92
L _{Ma}	39.43	-61.79	45.84	76.95	143
C _{Ma}	47.86	-26.79	-34.24	43.49	232
V _{Ma}	10.16	55.12	-61.03	82.24	312
M _{Ma}	34.5	80.68	-33.92	87.52	337
N _{Ma}	6.25	0.0	0.0	0.0	0
W _{Ma}	91.97	0.0	0.0	0.0	0
R _{CIE}	39.92	59.8	31.05	67.38	27
J _{CIE}	81.26	-2.52	76.25	76.29	92
G _{CIE}	52.23	-41.56	17.14	44.96	158
B _{CIE}	30.57	2.63	-43.77	43.86	273



VG290-7, 9stufige Reihen für konstanten CIELAB Buntton 92/360 = 0.255 (links)

16stufige Reihen für konstanten CIELAB Buntton 92/360 = 0.255 (rechts)

BAM-Prüfvorlage VG29; Farbmetrik-Systeme FRS06 & FRS06 input: $olv^*setrgbcolor$
D65: 9 und 16stufige Farbreihen für 10 Bunttöne output: olv^* (TRI9) $setrgbcolor$

Eingabe: Farbmétrisches Drucker-Reflektiv-System FRS06

für Buntton $h^* = lab^*h = 158/360 = 0.438$

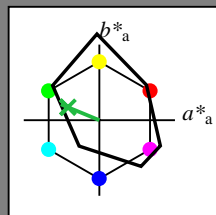
lab^*tch und lab^*nch

D65: Buntton G

LCH*Ma: 42 55 158

olv*Ma: 0.0 1.0 0.31

Dreiecks-Helligkeit t^*



%Umfang

$u^*_{rel} = 115$

%Regularität

$g^*_{H,rel} = 28$

$g^*_{C,rel} = 38$

FRS06; adaptierte CIELAB-Daten

	$L^*=L^*_a$	a^*_a	b^*_a	$C^*_{ab,a}$	$h^*_{ab,a}$
O _{Ma}	32.57	62.32	46.49	77.75	37
Y _{Ma}	82.73	-3.16	113.99	114.03	92
L _{Ma}	39.43	-61.79	45.84	76.95	143
C _{Ma}	47.86	-26.79	-34.24	43.49	232
V _{Ma}	10.16	55.12	-61.03	82.24	312
M _{Ma}	34.5	80.68	-33.92	87.52	337
N _{Ma}	6.25	0.0	0.0	0.0	0
W _{Ma}	91.97	0.0	0.0	0.0	0
R _{CIE}	39.92	59.8	31.05	67.38	27
J _{CIE}	81.26	-2.52	76.25	76.29	92
G _{CIE}	52.23	-41.56	17.14	44.96	158
B _{CIE}	30.57	2.63	-43.77	43.86	273

Ausgabe: Farbmétrisches Drucker-Reflektiv-System FRS06

für Buntton $h^* = lab^*h = 158/360 = 0.438$

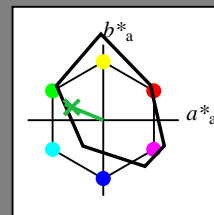
lab^*tch und lab^*nch

D65: Buntton G

LCH*Ma: 42 55 158

olv*Ma: 0.0 1.0 0.31

Dreiecks-Helligkeit t^*



%Umfang

$u^*_{rel} = 115$

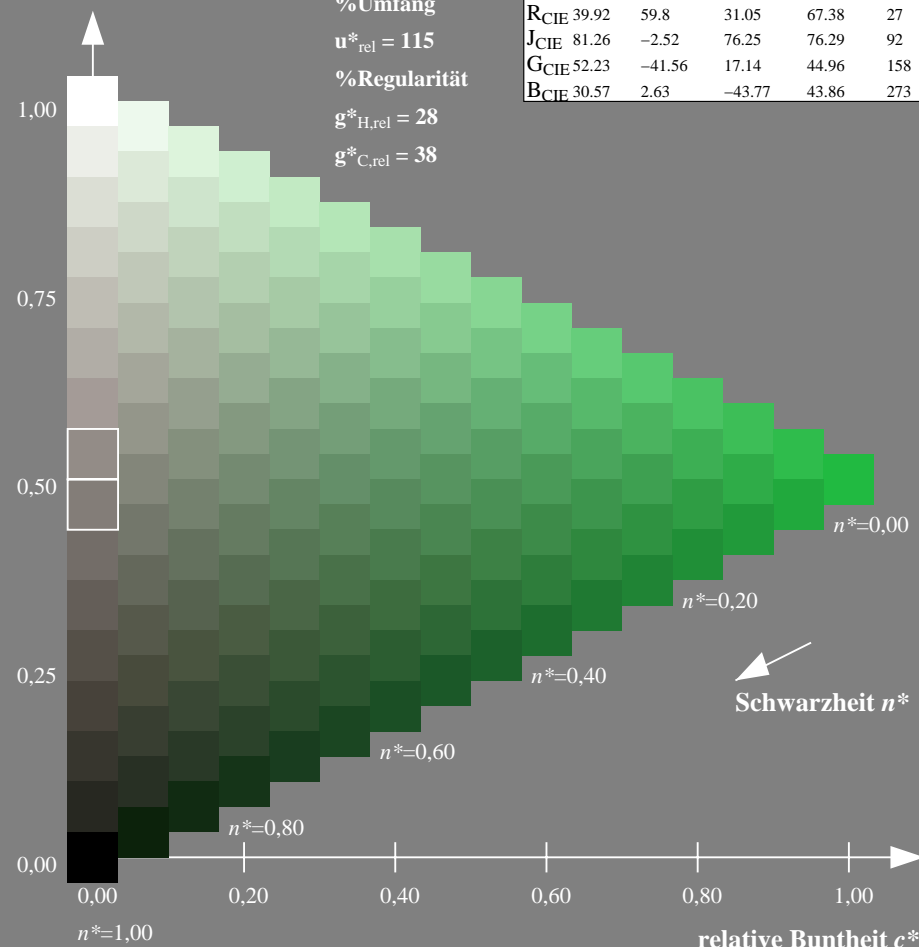
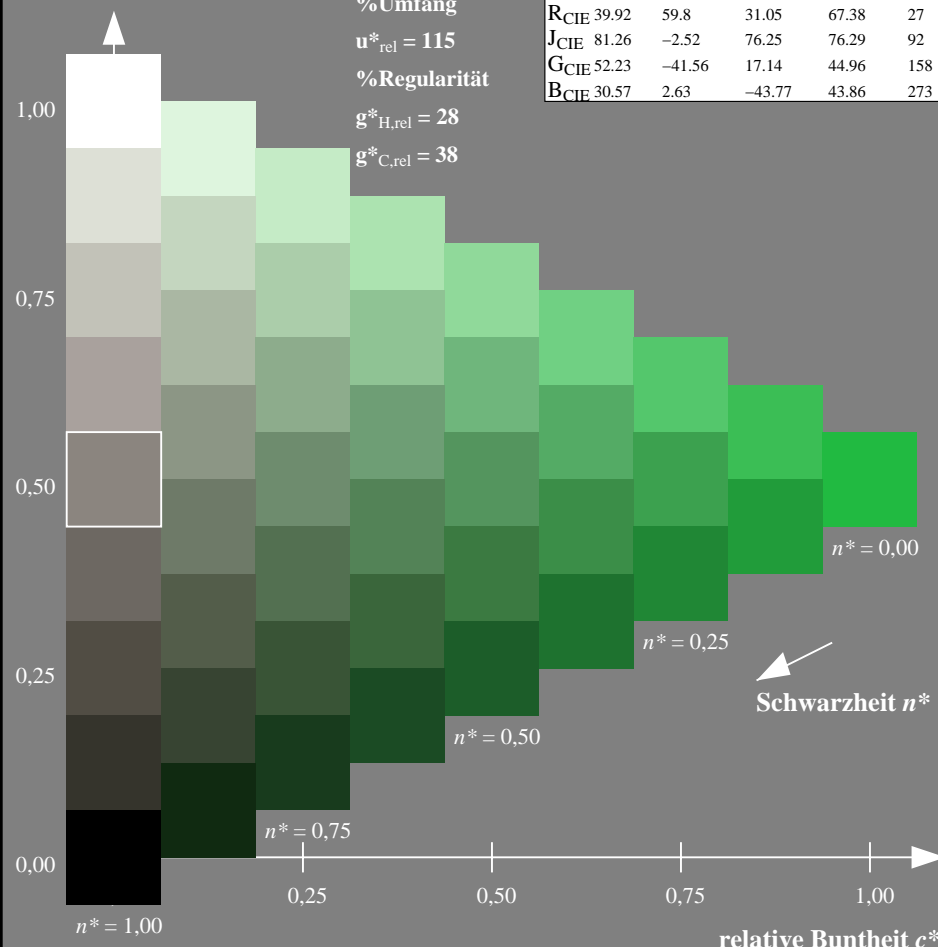
%Regularität

$g^*_{H,rel} = 28$

$g^*_{C,rel} = 38$

FRS06; adaptierte CIELAB-Daten

	$L^*=L^*_a$	a^*_a	b^*_a	$C^*_{ab,a}$	$h^*_{ab,a}$
O _{Ma}	32.57	62.32	46.49	77.75	37
Y _{Ma}	82.73	-3.16	113.99	114.03	92
L _{Ma}	39.43	-61.79	45.84	76.95	143
C _{Ma}	47.86	-26.79	-34.24	43.49	232
V _{Ma}	10.16	55.12	-61.03	82.24	312
M _{Ma}	34.5	80.68	-33.92	87.52	337
N _{Ma}	6.25	0.0	0.0	0.0	0
W _{Ma}	91.97	0.0	0.0	0.0	0
R _{CIE}	39.92	59.8	31.05	67.38	27
J _{CIE}	81.26	-2.52	76.25	76.29	92
G _{CIE}	52.23	-41.56	17.14	44.96	158
B _{CIE}	30.57	2.63	-43.77	43.86	273



VG290-7, 9stufige Reihen für konstanten CIELAB Buntton 158/360 = 0.438 (links)

16stufige Reihen für konstanten CIELAB Buntton 158/360 = 0.438 (rechts)

BAM-Prüfvorlage VG29; Farbmétrik-Systeme FRS06 & FRS06 input: $olv^*setrgbcolor$
D65: 9 und 16stufige Farbreihen für 10 Bunttöne output: olv^* (TRI9) $setrgbcolor$

BAM-Registrierung: 20060101-VG29/10L/L29G08FP.PS/.PDF BAM-Material: Code=rh4ta
Anwendung für Beurteilung und Messung von Drucker- oder Monitorssystemen, Yr=2.5, XYZ
/VG29/ Form: 9/10, Serie: 1/1, Seite: 9
Seite 1 von 1

Eingabe: Farbmétrisches Drucker-Reflektiv-System FRS06

für Buntton $h^* = lab^*h = 273/360 = 0.76$

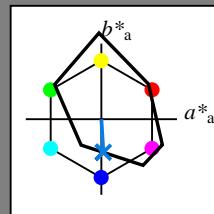
lab^*tch und lab^*nch

D65: Buntton B

LCH*Ma: 34 44 273

olv*Ma: 0.0 0.64 1.0

Dreiecks-Helligkeit t^*



%Umfang

$u^*_{rel} = 115$

%Regularität

$g^*_{H,rel} = 28$

$g^*_{C,rel} = 38$

FRS06; adaptierte CIELAB-Daten

	$L^*=L^*_a$	a^*_a	b^*_a	$C^*_{ab,a}$	$h^*_{ab,a}$
O _{Ma}	32.57	62.32	46.49	77.75	37
Y _{Ma}	82.73	-3.16	113.99	114.03	92
L _{Ma}	39.43	-61.79	45.84	76.95	143
C _{Ma}	47.86	-26.79	-34.24	43.49	232
V _{Ma}	10.16	55.12	-61.03	82.24	312
M _{Ma}	34.5	80.68	-33.92	87.52	337
N _{Ma}	6.25	0.0	0.0	0.0	0
W _{Ma}	91.97	0.0	0.0	0.0	0
R _{CIE}	39.92	59.8	31.05	67.38	27
J _{CIE}	81.26	-2.52	76.25	76.29	92
G _{CIE}	52.23	-41.56	17.14	44.96	158
B _{CIE}	30.57	2.63	-43.77	43.86	273

Ausgabe: Farbmétrisches Drucker-Reflektiv-System FRS06

für Buntton $h^* = lab^*h = 273/360 = 0.76$

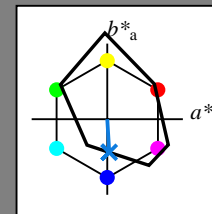
lab^*tch und lab^*nch

D65: Buntton B

LCH*Ma: 34 44 273

olv*Ma: 0.0 0.64 1.0

Dreiecks-Helligkeit t^*



%Umfang

$u^*_{rel} = 115$

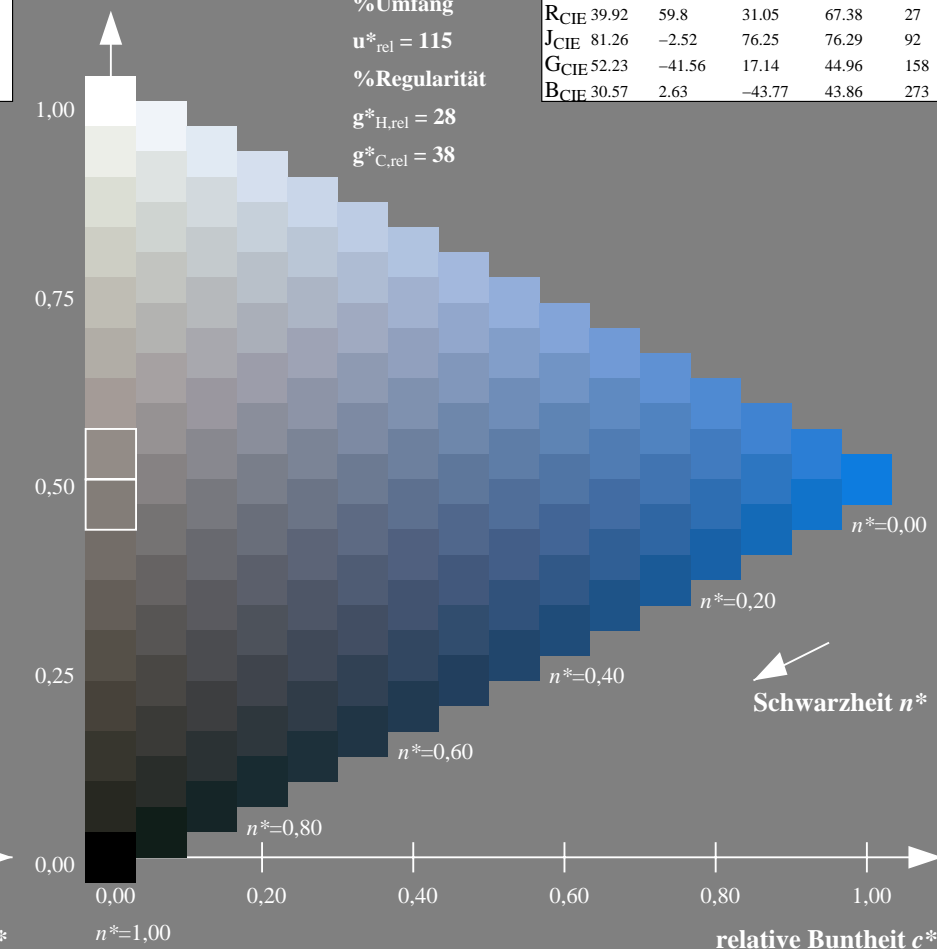
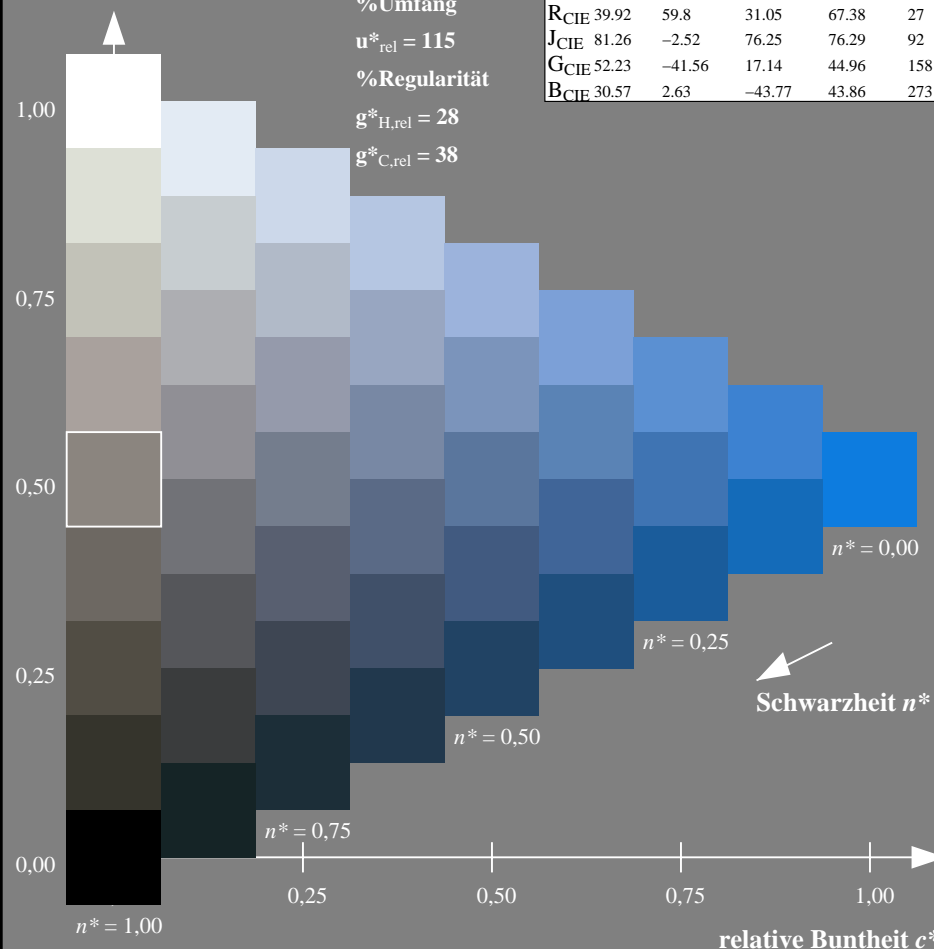
%Regularität

$g^*_{H,rel} = 28$

$g^*_{C,rel} = 38$

FRS06; adaptierte CIELAB-Daten

	$L^*=L^*_a$	a^*_a	b^*_a	$C^*_{ab,a}$	$h^*_{ab,a}$
O _{Ma}	32.57	62.32	46.49	77.75	37
Y _{Ma}	82.73	-3.16	113.99	114.03	92
L _{Ma}	39.43	-61.79	45.84	76.95	143
C _{Ma}	47.86	-26.79	-34.24	43.49	232
V _{Ma}	10.16	55.12	-61.03	82.24	312
M _{Ma}	34.5	80.68	-33.92	87.52	337
N _{Ma}	6.25	0.0	0.0	0.0	0
W _{Ma}	91.97	0.0	0.0	0.0	0
R _{CIE}	39.92	59.8	31.05	67.38	27
J _{CIE}	81.26	-2.52	76.25	76.29	92
G _{CIE}	52.23	-41.56	17.14	44.96	158
B _{CIE}	30.57	2.63	-43.77	43.86	273



VG29-7, 9stufige Reihen für konstanten CIELAB Buntton 273/360 = 0.76 (links)

16stufige Reihen für konstanten CIELAB Buntton 273/360 = 0.76 (rechts)

BAM-Prüfvorlage VG29; Farbmétrik-Systeme FRS06 & FRS06 input: $olv^*setrgbcolor$

D65: 9 und 16stufige Farbreihen für 10 Bunttöne

output: olv^* (TRI9) $setrgbcolor$

BAM-Registrierung: 20060101-VG29/10L/L29G09FP.PS/.PDF BAM-Material: Code=rh4ta
Anwendung für Beurteilung und Messung von Drucker- oder Monitorssystemen, Yr=2.5, XYZ
/VG29/ Form: 10/10 Serie: 1/1, Seite: 10 Seitenhang 1